



شبیه‌سازی راکتور فتوکاتالیستی به روش حجم محدود و جهت‌های مجذع و مطالعات پارامتریک

ماجده نوری‌زاده^۱، محمد رحمانی^{۱*}، علی‌یار جوادی^۲

^۱ دانشکده مهندسی شیمی، دانشگاه صنعتی امیرکبیر، تهران، ایران

^۲ دانشکده مهندسی شیمی، دانشگاه تهران، تهران، ایران

تاریخچه داوری:

دریافت: ۱۳۹۸-۰۴-۱۴

بازنگری: ۱۳۹۸-۰۸-۲۱

پذیرش: ۱۳۹۸-۰۹-۱۸

ارائه آنلاین: ۱۳۹۸-۱۰-۰۶

كلمات کلیدی:

راکتور فتوکاتالیستی
تصفیه آب، شبیه‌سازی
دینامیک سیالات محاسباتی
کاتالیست

خلاصه: استفاده از روش‌های اکسیداسیون پیشرفت‌به برای تصفیه آب به تازگی بسیار مورد توجه بوده است. تصفیه فتوکاتالیستی آب با استفاده از نانوکاتالیست تیتانیوم دی‌اکسید و نور فرابنفش منجر به تجزیه آلودگی‌های آب می‌شود. با وجود پژوهش‌های تجربی بسیار زیاد، طراحی و مدل‌سازی راکتورهای فتوکاتالیستی همچنان یک چالش است. یکی از راه حل‌های موثر برای دستیابی به این مهم استفاده از دینامیک سیالات محاسباتی است. از عوامل موثر بر بازده راکتور فتوکاتالیستی، نحوه عملکرد کاتالیست است که توسط نور فرابنفش فعال می‌شود. در صورت عدم پخش مناسب نور فرابنفش درون راکتور، بخشی از راکتور به دلیل فعل نشدن کاتالیست کارایی نداشته و بازده کاهش می‌یابد. در این کار راکتور شبیه‌سازی شده با داده‌های آزمایشگاهی اعتبارسنجی و سپس اثر غلظت کاتالیست، توان لامپ و انعکاس دیواره بررسی گردید. طبق نتایج با افزایش انعکاس دیواره به میزان ۹۸ درصد در غلظت ۰/۴ گرم بر لیتر کاتالیست، نرخ واکنش به میزان ۵۰ درصد افزایش می‌یابد. با افزایش توان لامپ به دو برابر، میزان نرخ واکنش در حالت دیواره با انعکاس ۹۸ درصد در مقایسه با دیواره با انعکاس صفر، به میزان ۱۲/۲ درصد، افزایش می‌یابد که در مقایسه با افزایش ۱۱ درصد در حالت معمولی توان لامپ، به معنای افزایش ۱/۲ درصدی است.

پارچه، کاغذ و پلاستیک حاوی انواع متنوعی از رنگزها هستند [۱].

رنگزها از جمله خطرناک‌ترین گروه‌های ترکیبات شیمیایی یافت شده در پساب‌های صنعتی بوده که بنا به دلایلی از قبیل کاهش قابلیت نفوذ نور و به دنبال آن ایجاد اختلال در انجام فرآیند فتوسنتر در منابع آبی از اهمیت قابل ملاحظه‌ای برخوردار است. همچنین رنگزها به دلیل ساختار پیچیده، اغلب پایدار و مقاوم به تجزیه بیولوژیک بوده که غالباً سمی، سرطان‌زا و جهش‌زا هستند. رنگزها از مهم‌ترین مواد آلوهه‌کننده فاضلاب صنایع نساجی است، زیرا بخش قابل توجهی از رنگزای تولیدی در این صنایع مصرف و از طریق فاضلاب وارد محیط زیست می‌شود که تهدید جدی برای محیط زیست و سلامتی انسان است [۱].

۱- مقدمه

یکی از مسائل مهمی که سلامت محیط‌های اکولوژیکی آبی را تهدید کرده و سلامت انسان را به خطر می‌اندازد، ترکیبات مقاوم و سمی هستند که توسط فاضلاب‌های صنعتی وارد محیط زیست می‌گردند. با توجه به آن که منابع آبی قابل استفاده در جهان بسیار محدود می‌باشند، در بسیاری از مناطق مخصوصاً در مناطق خشک بازیابی پساب‌ها به عنوان یکی از منابع مهم آب برای استفاده‌هایی مانند کشاورزی به صورت روزافزونی مورد توجه سازمان‌های تامین آب قرار گرفته است. بخش قابل توجهی از پساب مربوط به صنایع گوناگون مانند صنعت نساجی، رنگ‌سازی، رنگزی و صنایع تولید کننده چرم،

* نویسنده عهددار مکاتبات: m.rahamani@aut.ac.ir



از راکتور به دلیل فعال نشدن کاتالیست کارایی نخواهد داشت و بازده کاهش می‌یابد. بنابراین روش‌های مختلفی برای حل معادله انتقال تابش^۲ و نحوه پخش نور درون راکتورهای فتوکاتالیستی ارائه شده است [۹-۱۲]. اسدالله‌فردی و همکاران [۱۰] برای حل معادله معادله انتقال تابش دو روش مونت کارلو^۳ و جهت‌های مجزا^۴ را با یکدیگر مقایسه کردند. نتایج کار آنان نشان داد هر دو روش نتایج قابل قبولی به دست می‌دهند اما روش جهت‌های مجزا دارای خطای کمتر و نتایج دقیق‌تری است. بسیاری از محققین از روش جهت‌های مجزا برای حل معادله انتقال تابش استفاده کرده‌اند [۷، ۱۳، ۱۴]. در این روش میدان تشعشع به جهت‌های مجزا تقسیم‌بندی شده و معادله انتقال تابش برای هر یک از این جهت‌ها نوشته و حل می‌شود. چن و همکاران [۱۵] با استفاده از نرم‌افزار فلوبت یک راکتور بسته گندزدا را با مدل هیدرودینامیکی رینولذ-کا-پسیلون^۵ و مدل تابش پی وان^۶ شبیه‌سازی کردند. نتایج آن‌ها نشان داد اثر انعکاس دیواره در نرخ گندزدایی بالاتر، تاثیرگذارتر بود.

در فرآیند تجزیه فتوکاتالیستی، نحوه اثرگذاری پارامترهای مختلف بر فرآیند فتوکاتالیستی، با انجام واکنش‌های متعدد راکتوری به دست می‌آید که مستلزم زمان و هزینه بالا است، استفاده از روش‌های دینامیک سیالات محاسباتی (سی‌اف‌دی)^۷ روشی نوین، کم‌هزینه و سریع است. در این روش پس از اعتبارسنجی مدل با داده‌های آزمایشگاهی می‌توان شبیه‌سازی‌های مختلفی را طرح و اجرا کرد. نحوه پخش نور در یک راکتور فتوکاتالیستی از هندسه راکتور، جنس برای طراحی است و به عوامل مختلفی از قبیل هندسه راکتور، جنس و ضریب انعکاس دیواره‌های راکتور و غلظت کاتالیست بستگی دارد. اگرچه کارهای بسیار زیادی جهت بررسی نحوه تابش و مقدار بهینه پارامترهای موثر بر آن انجام گرفته است اما گزارش جامعی درخصوص چگونگی اثر انعکاس دیواره، توان لامپ و غلظت‌های مختلف کاتالیست بر نحوه پخش نور درون راکتور فتوکاتالیستی دوغایی با استفاده از سی‌اف‌دی انجام نشده است. هدف از این کار بررسی پدیده‌های انتقال همراه با واکنش شیمیایی و تشعشع و تاثیر پارامترهای مختلف روی سیستم فتوکاتالیستی به‌وسیله روش دینامیک سیالات محاسباتی

امروزه فرآیندهای مشتق شده از فرآیندهای اکسیداسیون پیشرفت^۸ به دلیل عدم محدودیت فرآیندهای بیولوژیکی به نحو مناسبی توانایی حذف آلاینده از پساب را دارند. فرآیند فتوکاتالیستی با نانوذرات دی‌اکسید تیتانیم یکی از فرآیندهای اکسیداسیون پیشرفت‌ه است که توانایی آن برای حذف انواع ترکیبات سمی و سخت تجزیه‌پذیر اثبات شده‌است [۲ و ۳]. این ذرات برخلاف فلزات که حالت الکترونی پیوسته دارند، دارای یک ناحیه خالی از انرژی هستند [۴]. در سال‌های اخیر انواع بهبود یافته دی‌اکسید تیتانیوم مانند نانوکامپوزیت‌های اکسید تیتانیوم-نانوتیوب کربن توسعه داده شده است که بهبود عملکرد قابل توجه‌ای را نشان می‌دهد [۵].

در طول سالیان اخیر پژوهش‌های زیادی در این زمینه انجام شده است که می‌توان به کارهای آزمایشگاهی و شبیه‌سازی راکتور اشاره کرد. با پیشرفت‌های حاصل در زمینه تصفیه فتوکاتالیستی، طراحی دقیق راکتور فتوکاتالیستی از اهمیت ویژه‌ای برخوردار شده است. شبیه‌سازی در بسیاری زمینه‌ها از جمله مدل‌سازی راکتورهای صنعتی و آزمایشگاهی، برای درک بهتر پیرامون نحوه عملکرد آن‌ها، به کار می‌رود [۶]. شناخت هیدرودینامیک راکتور فتوکاتالیستی جهت انجام محاسبات مربوط به تشعشع درون راکتور ضروری است. دلیل این امر، شناخت رفتار هیدرودینامیکی حاکم بر بستر مورد نظر برای محاسبه توزیع کاتالیست درون راکتورهای دوغایی و شناسایی نواحی گردابی و یا ساکن بستر است. در راکتورهای فتوکاتالیستی همگن، معادلات کلاسیک نویر-استوکس برای محاسبات هیدرودینامیکی به کار می‌رود اما برای جریان‌های چندفازی دو رویکرد اولر-اولر و اولر-لاگرانژ برای شبیه‌سازی هیدرودینامیکی وجود دارد. بوجو و همکاران [۷] در شبیه‌سازی سه‌بعدی راکتور حلقوی فتوکاتالیستی از روش اویلر-اویلر برای حل معادلات جریان استفاده کردند. نتایج کار آنان نشان داد کانتور ذرات فتوکاتالیست و جریان آب بسیار شبیه به هم می‌باشد. گرچه کار آنان با فرض جریان آشفته بود، اما بسیاری از پژوهشگران در حل با جریان آرام نیز از این فرض استفاده کرده و نتایج قابل قبولی به دست آورده‌اند [۸ و ۹]. از آن جایی که فتوکاتالیست‌ها نیازمند نور فرابنفش برای فعال شدن هستند، نحوه پخش نور یک پارامتر مهم برای طراحی یک راکتور فتوکاتالیستی است. در صورت عدم پخش مناسب نور فرابنفش درون راکتور بخشن

2 Radiative Transfer Equation

3 Monte Carlo

4 Discrete Ordinate

5 Reynolds κ-ε

6 P1

7 Computational Fluid Dynamics (CFD)

فتوكاتاليسى از روش اويلر-اويلر در حالت چندفازي (ذرات كاتاليس-جامد) و معادلات نوير استوكس در حالت همگن برای حل معادلات جريان استفاده کردند. نتایج کار آنان نشان داد پراكندگي ذرات كاتاليسى در راكتور يکنواخت است و می‌توان سیستم را همگن درنظر گرفت. بسياری از محققین در حل با جريان آرام از اين فرض استفاده کرده و نتایج قابل قبولی به دست آورده‌اند [۹، ۱۴، ۱۹]. در راكتورهای فتكاتاليسى همگن، معادلات کلاسيك نوير-استوكس برای محاسبات هييدروديناميکي به کار برده می‌شوند.

شبیه‌سازی انجام شده در اين کار، سه‌بعدی با جريان آرام و پایا است. برای بررسی رفتار جريان، معادلات پیوستگی و مومنتوم به کار برده شده به قرار زير است [۲۰]:

$$\nabla(\rho\bar{v}) = 0 \quad (1)$$

$$\nabla \cdot (\rho\bar{v}\bar{v}) = -\nabla P + \nabla \cdot \bar{\tau} + \rho g \quad (2)$$

فرض شده است که سیال، نیوتونی، غیرقابل تراکم و با دمای ثابت است که دارای خواص فیزیکی ثابت است. برای هر جزء شیمیایی α درون دامنه محاسباتی، معادله موازنۀ جرم به صورت زير است:

$$\frac{\partial}{\partial t}(\rho Y_i) + \nabla(\rho\bar{v}Y_i) = \nabla J_i + R_i \quad (3)$$

که در آن Y_i جزء جرمی i در مخلوط، J_i شار نفوذی و R_i نرخ تولید (یا مصرف) آن توسط واکنش است که در ادامه شرح داده شده است. بردار سرعت، \bar{v} ، موازنۀ جرم را به محاسبات هييدروديناميکي کوپل می‌کند. شار نفوذی با استفاده از قانون اول فيک به صورت زير محاسبه می‌شود:

$$J_i = -\rho D_{i,m} \nabla Y_i \quad (4)$$

ضربي نفوذ (D) مواد آلى در آب در 30° کلوين برابر با 10×10^{-9} مترمربع بر ثانیه درنظر گرفته شده است [۲۱].

۲-۱- معادله انرژي و انتقال تابشي
معادله انرژي را می‌توان متشکل از دو بخش حرارتی و تابشی درنظر گرفت. در راكتورهای فتكاتاليسى، به دليل غلظت پايانين آلاينده، اثرات دمایي ناشی از واکنش ناچيز است و معادله انتقال

است. برای شبیه‌سازی راكتور از نرمافزار تجاری انسیس فلوینت ۱۷/۲ بهره برده شده است. فلوئنت از پرکاربردترین نرمافزارهای تجاری مورد استفاده در حوزه سی‌اف‌دی است. در اين نرمافزار معادلات ديفرانسيل پاره‌ای باقی جرم، انرژي و مومنتوم با استفاده از روش گسسته‌سازی حجم محدود و نيز معادله انتقال تابش با روش جهت‌های مجزا به معادلات جبری تبدیل می‌شوند. در روش حجم محدود، معادلات عمومي بقا در شكل انتگرالي استفاده می‌گردد، محدوده حل به عدد معيني حجم کنترل تقسيم شده و معادلات در آن محدوده حل می‌گردد. کميّتها در مرکز گره‌ها محاسبه شده و جهت به دست آوردن مقادير روی سطوح باید درون یابي انجام گيرد [۱۶].

۲- مدل‌سازی نظری

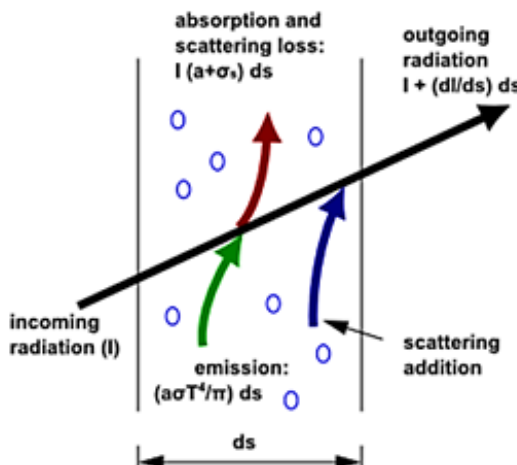
با توجه به مطالعات و نتایج آزمایشگاهی پوما و همکاران [۱۷]، راكتور فتكاتاليسى درنظر گرفته شده برای شبیه‌سازی در پژوهش حاضر، با راكتور فتكاتاليسى آزمایشگاهی ايشان مطابق دارد. راكتور درنظر گرفته شده برای شبیه‌سازی استوانه‌اي با قطر خارجي ۰/۰۳۸ متر، قطر داخلی ۰/۰۲۶ متر و ارتفاع ۰/۲۵۵ متر می‌باشد. شبیه‌سازی در سه بعد انجام شده است. در اين کار از حلگر مبتنی بر فشار و الگوريتم سيمپل^۱ استفاده شده است. همگرایي حل عددی از طريق دستيابي به مقدار باقی‌مانده‌های 10^{-6} برای متغيرهای معادله پيوستگي، مومنتوم و تابش و مقدار 10^{-4} برای غلظت حاصل شده است (نمودار همگرایي در پيوست الف آورده شده است). شبیه‌سازی متشکل از سه بخش است. ميدان سرعت با استفاده از معادلات پيوستگي و مومنتوم به دست می‌آيد، همچنین از حل معادله تابش، شدت تابش و مقدار انرژي جذب شده در هر نقطه از راكتور به دست می‌آيد. معادلات مومنتوم و تابش در اين مطالعه مستقل از هم هستند چرا که تابش اثري بر هييدروديناميک جريان ندارد [۱۸] اما هر دو پديده به طور مستقيم بر نرخ واکنش اثرگذار می‌باشنند. نرخ واکنش تابعی از مقدار انرژي جذب شده^۲ است که نيازمند حل معادلات تابش و نوير استوكس می‌باشد.

۲- مدل‌سازی هييدروديناميک راكتور و انتقال جرم

بویجو و همکاران [۷] در شبیه‌سازی سه‌بعدی راكتور حلقوی

¹ Simple

² Local Volumetric Rate of Energy Absorption (LVREA)



شكل ١. نحوه توزیع تابش

Fig 1. Radiation distribution profile

است [۲۲]. با حل این معادله می‌توان میدان تابش را در هر نقطه از راکتور به دست آورد. در این پژوهش از روش جهت‌های مجزا و حجم محدود برای حل معادله انتقال تابش استفاده شده است. شبکه‌بندی فضایی توسط مش‌بندی هندسه و شبکه‌بندی در جهت تابش مقدار 6×6 معین گردید. ضرایب جذب و پراکنش حجمی با استفاده از حاصل ضرب پارامترهای مربوطه در غلظت کاتالیست به دست می‌آیند:

$$K_{\lambda} = K_{\lambda}^* W_{cat} \quad (\forall)$$

$$\sigma_\lambda = \sigma_\lambda^* W_{cat} \quad (\lambda)$$

که در آن W_{cat} غلظت کاتالیست بر حسب g/m^3 است.
 پارامتر دیگری که برای حل معادله تابش موردنیاز است تابع حالت
 م بالا شد. این کاراکتریتات مغایر با مقادیر خط استفاده شده است:

$$P(\theta) = (1 + A \cos \theta) \quad (9)$$

که در آن A برابر با -1 ، 0 و 1 به ترتیب برای پراکنش رو به عقب^۵، یکسان^۶ و جلو^۷ خواهد بود. تابع حالت غیرایزوتروپیک خطی با A برابر با صفر توسط بسیاری از محققین در مدل‌سازی راکتورهای دوغانی^۸ (کاسانو و آلفانو [۲۲]، رومرو و همکاران [۱۲]، پریک و

تابشی مستقل از بخش حرارتی معادله انرژی است. از طرفی، اثرات دمایی بر سینتیک واکنش‌های فتوکاتالیستی قابل ملاحظه نیست. به همین دلیل در مدل‌سازی راکتور فتوکاتالیستی به‌طور معمول نیازی به حل معادله انرژی حرارتی وجود ندارد [۱۸، ۲۲، ۲۳].

برای یک دسته فوتون با شدت I و طول موج λ در جهت S و زاویه Ω در محیط با ضریب جذب حجمی κ و ضریب پخش حجمی σ ، معادله تابش به صورت زیر است:

تابش در یک نقطه از فضا (x) با زاویه انتشار Ω ممکن است به دلایل زیر تغییر کند (شکل ۱): یک: جذب فوتون ناشی از صدور، که در راکتورهای فتوکاتالیستی به دلیل بالا نبودن دما درنظر گرفته نمی‌شود. دو: از دست دادن فوتون به دلیل جذب شدن توسط محیط.^۲ سه: از دست دادن فوتون به دلیل پراکنش.^۳ چهار: جذب فوتون ناشی از پراکنش محیط اطراف.^۴ در یک راکتور دوغابی فتوکاتالیستی، سوسپانسیون کاتالیست به عنوان یک محیط شبهمگن و همچنین ضرایب جذب و دفع در یک طول موج خاص، ثابت درنظر گرفته می‌شود. با این فرض که انتشار در یک راکتور فتوکاتالیستی با دمای پایین، ناچیز است معادله انتقال تابش به فرم زیر خواهد بود [۲۲].

$$\begin{aligned} & \frac{dI_{\lambda,\Omega}(s,t)}{ds} + \kappa_\lambda I_{\lambda,\Omega}(s,t) + \sigma_\lambda I_{\lambda,\Omega}(s,t) \\ &= \frac{1}{4\pi} \sigma_\lambda(s,t) \int_0^{4\pi} p(\Omega' \rightarrow \Omega) I_{\lambda,\Omega}(s, \Omega') d\Omega' \end{aligned} \quad (6)$$

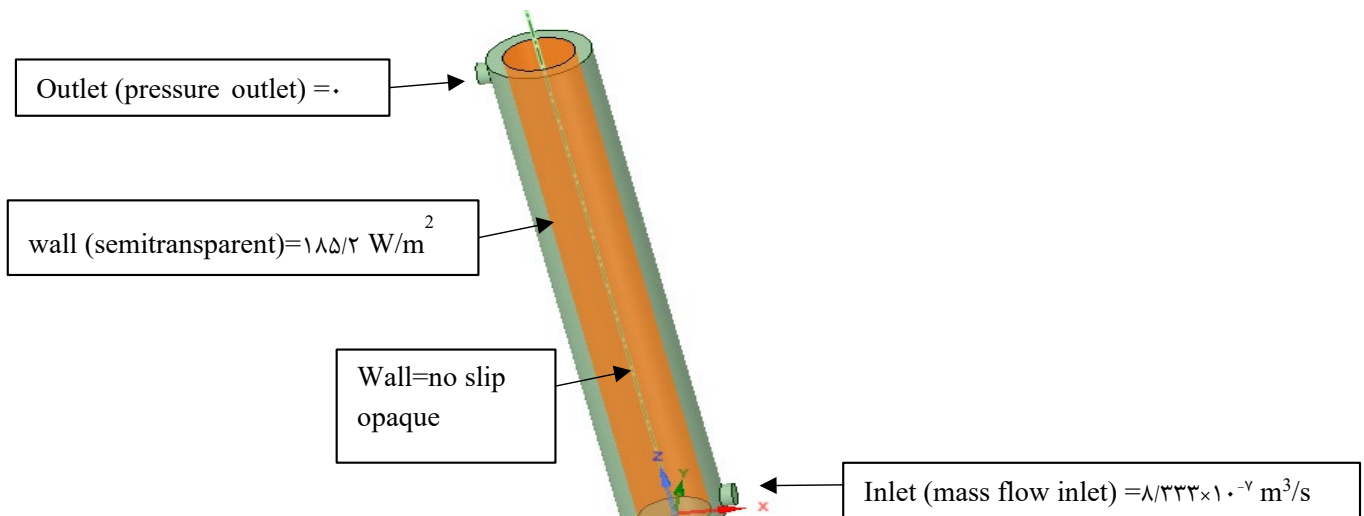
که در آن I شدت یک دسته فوتون با طول موج λ در جهت S زاویه Ω ، κ ضریب جذب حجمی محیط، σ ضریب پخش حجمی نشان دهنده نحوه راکنش فوتون ها با محیط و تابع حالت $\psi(\mathbf{r}, t)$ است.

1 Emission

1 Emission 2 Absorption

2 Absorption 3 Scattering-Out

4 Scattering-In



شکل ۲. هندسه راکتور و شرایط مرزی

Fig 2. Reactor geometry and boundary conditions

جدول ۱. شرایط عملیاتی

Table 1. Operating conditions

| ضریب پراکنش جرمی محیط | ضریب جذب جرمی محیط | غلظت ایزوپروتوئن در ورودی | دبی سیال ورودی |
|------------------------|-----------------------|---------------------------|---|
| ۹۶۴ m ² /kg | ۳۳۸m ² /kg | ۰/۰۰۱۱kg/m ³ | ۸/۳۳×۱۰ ^{-۷} m ³ /s |

۴-۲- شرایط مرزی و عملیاتی

یک راکتور با قطر خارجی ۰/۰۳۸ متر، قطر داخلی ۰/۰۲۶ متر و ارتفاع ۰/۲۵۵ متر در این مطالعه انتخاب شده است. شرایط فیزیکی و متغیرهای عملیاتی برای شبیه‌سازی در جدول ۱ و شکل ۲ آورده شده است.

همکاران [۲۵] استفاده شده است.

۳-۲- مدل سرعت واکنش

در این کار از معادله سینتیکی به دست آمده توسط پوما و همکاران [۱۷] استفاده شده است

۵-۲- روش حل مساله

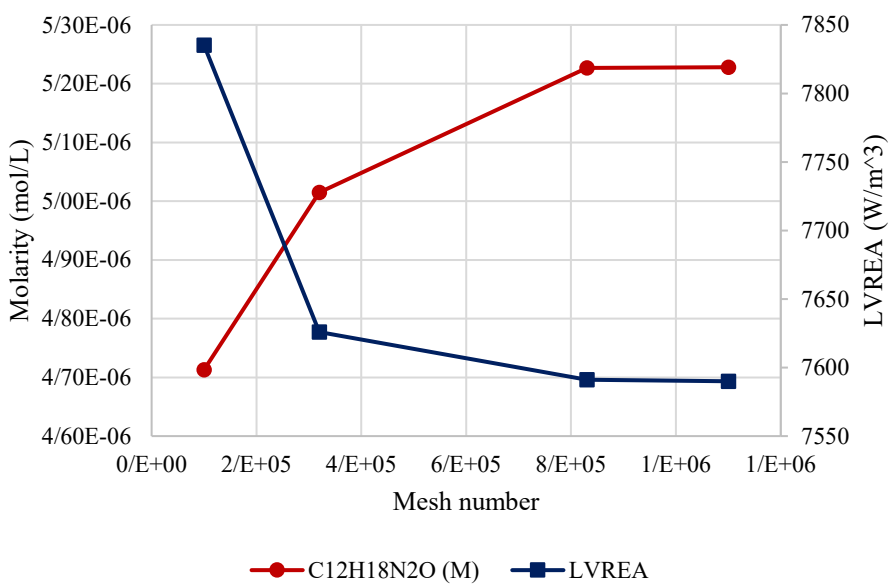
به منظور دستیابی به مدل مناسب ریاضی و شبیه‌سازی راکتور فتوکاتالیستی از نرم‌افزار انسیس فلوئنت استفاده شده است. فلوئنت از پرکاربردترین نرم‌افزارهای تجاری به حوزه سی‌اف‌دی می‌باشد. در این نرم‌افزار معادلات دیفرانسیلی بقای جرم، انرژی و مومنتوم با استفاده از روش گسسته‌سازی حجم محدود به معادلات جبری تبدیل می‌شوند. در روش حجم محدود معادلات عمومی بقا در شکل انتگرالی استفاده می‌گردد، محدوده حل به تعداد معینی حجم کنترل مجاور هم تقسیم شده و معادلات در آن محدوده حل می‌گردد. کمیت‌ها

که در آن k_1 ثابت واکنش بر حسب $kg^{(1-n)}s^{-1}m^{3m+3n-3}W^{-m}$ و C_j غلظت جزء ز بر حسب kgm^{-3} است. پوما و همکاران [۱۷] مجموعه‌ای از آزمایش‌های هدفمند را انجام دادند و پس از تنظیم نتایج، پارامترهای سینتیکی معادله فوق با کاتالیست دگوسا پی ۱۲۵ را به دست آورده‌اند. مطابق کار آنان m و n به ترتیب برابر با ۰/۸۲ و ۱ و k_1 برابر با $10^{-5} kg^{(1-n)}s^{-1}m^{3m+3n-3}W^{-m}$ است.

1 Degussa P25

جدول ۲. استقلال از شبکه
Table 2. Mesh independency

| $LVREA(W/m^3)$ | $C_{12}H_{18}N_2O \times 10^6(M)$ | تعداد سلول‌های شبکه |
|----------------|-----------------------------------|---------------------|
| ۷۸۳۵/۲۳۹ | ۴/۷۱۳ | ۱۰۰۰۰ |
| ۷۶۲۵/۹۰۸ | ۵/۰۱۵ | ۳۲۰۰۰ |
| ۷۵۹۱/۰۱۷ | ۵/۲۲۷ | ۸۳۰۰۰ |
| ۷۵۹۰/۰۱۷ | ۵/۲۲۸ | ۱۱۰۰۰ |



شکل ۳. استقلال از شبکه

Fig 3. Mesh independency

تقسیم می‌کند. حلگر سی‌اف‌دی از این المان‌ها، برای ایجاد حجم‌های کنترل استفاده می‌نماید. این المان‌ها براساس شکل آن‌ها دسته‌بندی می‌شوند. در این کار تعداد ۸۳۰۰۰۰ مش شش وجهی با روش کات سل^۲ تولید و برای شبیه‌سازی راکتور استفاده شد.

۳- نتایج

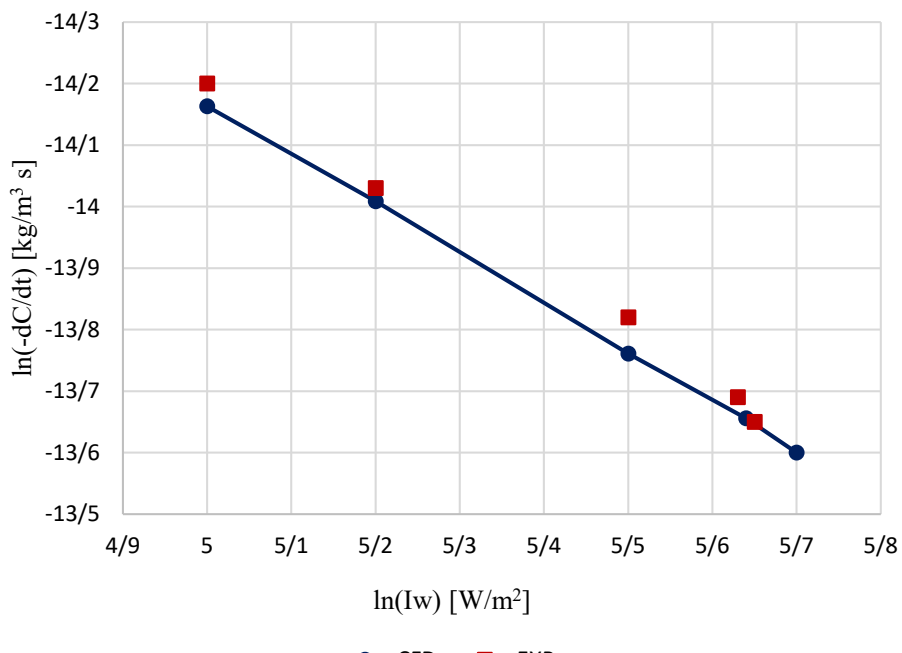
۳-۰- استقلال از شبکه

به منظور بررسی استقلال نتایج از شبکه‌بندی، چهار شبکه‌بندی مختلف با تعداد ۱۰۰۰۰۰، ۳۲۰۰۰۰، ۸۳۰۰۰۰ و ۱۱۰۰۰۰ برای شبیه‌سازی درنظر گرفته شده است. نتایج حاصل برای غلظت آلانینه

در مرکز گره‌ها محاسبه شده و جهت به دست آوردن مقادیر روی سطوح باید درون‌یابی انجام گیرد. با گسسته‌سازی معادلات حاکم بر جریان در حجم کنترل‌ها، معادلات دیفرانسیل جزئی، به یک دستگاه از معادلات جبری تبدیل می‌شوند و سپس تمامی معادلات جبری به صورت عددی حل می‌شوند. روش حجم محدود برای تمام هندسه‌های پیچیده کاربرد دارد.

۶-۲- شبکه‌بندی راکتور

به منظور شبکه‌بندی سیستم مورد بررسی، از نرم‌افزار شبکه‌بندی انسیس^۱ استفاده شده است. شبکه، هندسه را به تعداد زیادی المان



شکل ۴. مقایسه نتایج شبیه‌سازی با داده‌های آزمایشگاهی

Fig 4. Validation of the simulation results with experimental data

جدول ۳. خطای نسبی و مطلق بین نتایج شبیه‌سازی و آزمایشگاهی

Table 3. Absolute and relative errors between CFD results and experimental data

| خطای مطلق | خطای نسبی (درصد) | نتایج آزمایشگاهی پوما و همکاران [۱۷] | | نتایج شبیه‌سازی | |
|-----------|------------------|--------------------------------------|--------------------------|-------------------|--------------------------|
| | | $\ln(Iw) [W/m^2]$ | $\ln(-dC/dt) [kg/m^3.s]$ | $\ln(Iw) [W/m^2]$ | $\ln(-dC/dt) [kg/m^3.s]$ |
| ۰/۰۳۷ | -۰/۲۶۰۵۶ | ۵ | -۱۴/۲ | ۵ | -۱۴/۱۶۳ |
| ۰/۰۲۱ | -۰/۱۴۹۶۸ | ۵/۲ | -۱۴/۰۳ | ۵/۲ | -۱۴/۰۰۹ |
| ۰/۰۵۹ | -۰/۴۲۶۹۲ | ۵/۵ | -۱۳/۸۲ | ۵/۵ | -۱۳/۷۶۱ |
| ۰/۰۳۴ | -۰/۲۴۸۶۳ | ۵/۶۳ | -۱۳/۶۹ | ۵/۶۴ | -۱۳/۶۵۶ |
| ۰/۰۵ | -۰/۳۶۶۳ | ۵/۶۵ | -۱۳/۶۵ | ۵/۷ | -۱۳/۶ |

مناسب تشخیص داده شد.

در خروجی راکتور و متوسط انرژی جذب شده درون راکتور در جدول

۲ ارائه شده است.

۱-۳- اعتبارسنجی با داده آزمایشگاهی

داده‌های موجود در جدول ۲، در شکل ۳ با یکدیگر مقایسه

شده‌اند.

همان‌طور که در شکل ۴ نشان داده شده است، ابتدا مقادیر

متوسط نرخ واکنش با استفاده از نتایج آزمایشگاهی به دست آمده

توسط پوما و همکاران [۱۷] اعتبارسنجی گردید.

با توجه به شکل ۳ و ثبات نتایج با تغییر شبکه‌بندی از تعداد

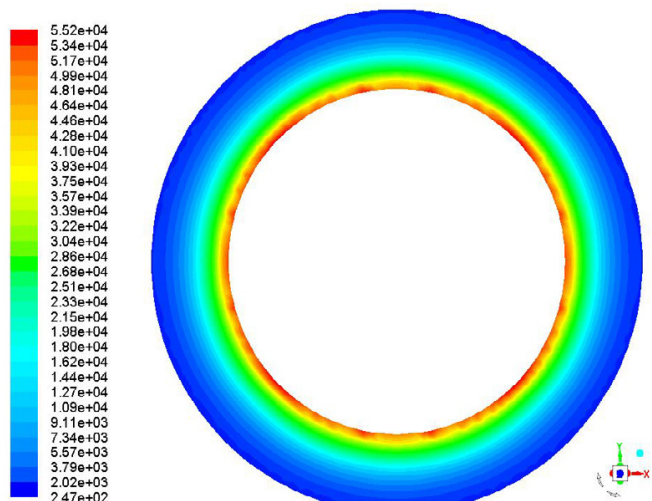
۸۳۰۰۰۰ به ۱۱۰۰۰۰ سلول برای شبیه‌سازی

راکتور در اطراف لامپ می‌باشد و با افزایش فاصله در جهت شعاعی میزان جذب کاهش می‌یابد. مقدار جذب و شدت کاهش شعاعی وابسته به غلظت کاتالیست درون راکتور است.

نتایج حاصل از شبیه‌سازی با دقت خوبی با نتایج آزمایشگاهی تطابق دارد به طوری که متوسط خطا 0.29 ± 0.04 درصد و بیشینه آن 0.49 ± 0.04 درصد می‌باشد. در جدول ۳ خطای نسبی و مطلق بین نتایج عددی و آزمایشگاهی آورده شده است.

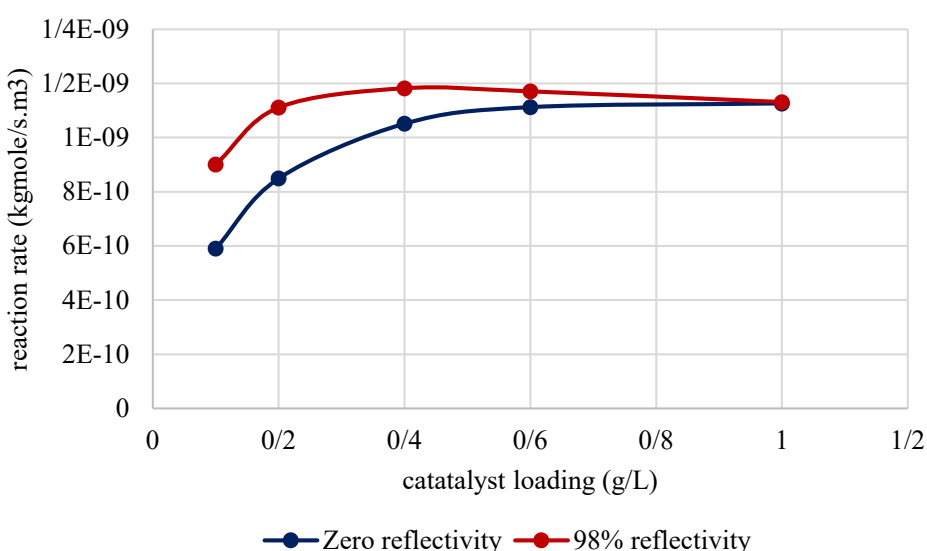
۲-۳-اثر غلظت کاتالیست بر میزان جذب انرژی و نرخ واکنش
 نرخ واکنش و انرژی جذب شده برای دو حالت ضریب انعکاس پذیری سطح دیواره برابر با صفر و ۹۸ درصد در غلظت‌های مختلف در شکل‌های ۶ و ۷ رسم شده است. همانطور که نتایج شکل‌های ۶ و ۷ نشان می‌دهد، با افزایش غلظت کاتالیست تا 0.4 ± 0.04 گرم بر لیتر، نرخ واکنش در ابتدا افزایش می‌یابد اما در غلظت‌های بالاتر از 0.4 ± 0.04 تقريباً ثابت است. اگرچه ضریب جذب محیط با افزایش غلظت کاتالیست افزایش می‌یابد اما به دليل بالا رفتن دورت، نفوذ پذیری نور فرابنفش درون راکتور کاهش یافته و در نتیجه نرخ واکنش و انرژی جذب شده ثابت می‌ماند. نتایج شکل ۶ نشان می‌دهد در غلظت‌های پایین کاتالیست (0.4 ± 0.04 گرم بر لیتر و کمتر)، به دليل کوچک بودن ضریب جذب محیط، با افزایش ضریب انعکاس دیواره به ۹۸ درصد، نرخ واکنش تا 5.0 ± 0.4 درصد افزایش می‌یابد این افزایش ناشی از این امر است که محیط دارای غلظت کمتری از کاتالیست دارای ضریب جذب پایین‌تر بوده و در نتیجه میزان قابل توجهی از تابش توسط دیواره‌های راکتور دریافت می‌شود، در حالی که در غلظت‌های

شکل ۵، متوسط حجمی انرژی جذب شده را در صفحه‌ای عمود بر راکتور در مرکز آن با غلظت 0.4 ± 0.04 گرم بر لیتر کاتالیست نشان می‌دهد. همانطور که شکل نشان می‌دهد، بیشترین میزان جذب انرژی درون



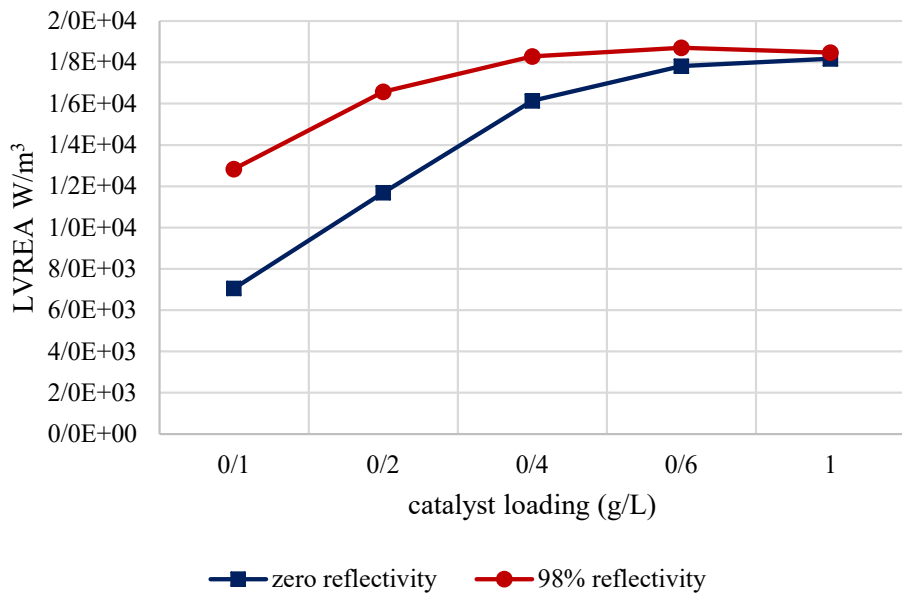
شکل ۵. پروفایل شعاعی متوسط حجمی انرژی جذب شده

Fig 5. Radial profile of LVREA



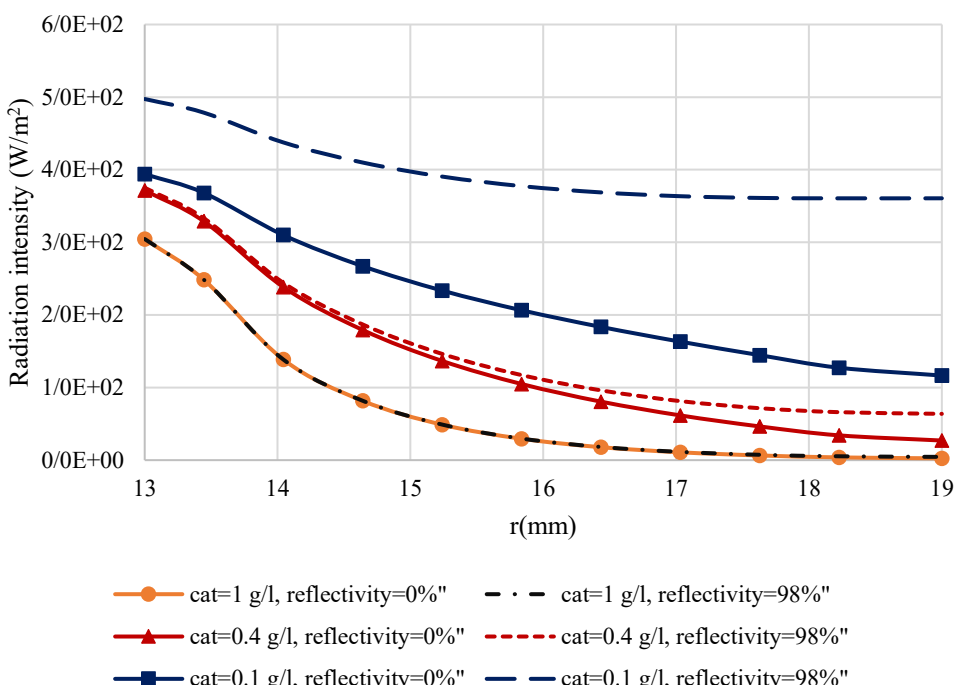
شکل ۶. نرخ واکنش در غلظت‌های مختلف کاتالیست در دو حالت ضریب انعکاس پذیری سطح دیواره صفر و ۹۸ درصد

Fig 6. Reaction rate at different catalyst concentration and wall reflection of zero and 98%



شکل ۷. متوسط انرژی جذب شده در غلظت‌های مختلف کاتالیست در دو حالت ضریب انعکاس پذیری سطح دیواره صفر و ۹۸ درصد

Fig 7. LVREA at different catalyst concentration and wall reflection of zero and 98%

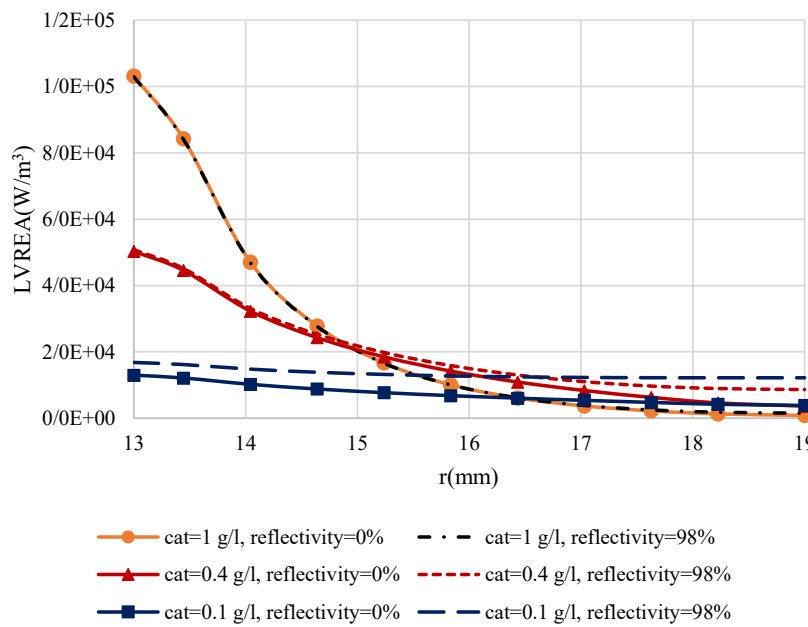


شکل ۸. شدت تابش شعاعی در دو حالت انعکاس پذیری سطح راکتور صفر و ۹۸ درصد

Fig 8. Radial irradiation intensity at wall reflection of 0 and 98%

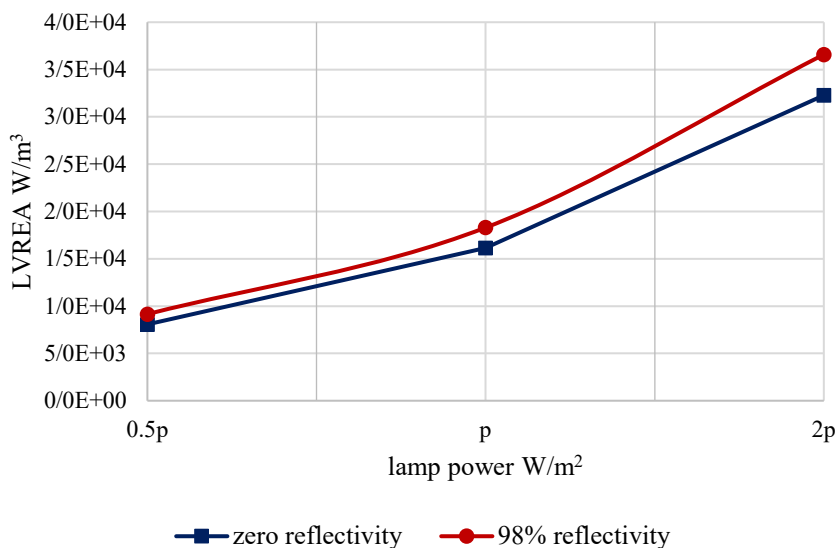
کاتالیست در شکل ۷ نمایش داده شده است. همانطور که شکل نشان می‌دهد با افزایش غلظت کاتالیست میزان انرژی جذب شده در راکتور افزایش می‌یابد که به دلیل افزایش ضریب جذب محیط است. از

زیاد (۰/۶ گرم بر لیتر و بیشتر) این افزایش تنها ۵ درصد است چرا که مقدار تابش رسیده در غلظت بالای کاتالیست به دیواره بسیار اندک است. میزان انرژی دریافت شده در راکتور در غلظت‌های مختلف



شکل ۹. متوسط انرژی جذب شده به صورت شعاعی در دو حالت انعکاس پذیری سطح راکتور صفر و ۹۸ درصد

Fig 9. Radial LVREA profile at wall reflection of 0 and 98%



شکل ۱۰. متوسط انرژی جذب شده در توان‌های مختلف لامپ در دو حالت ضریب بازگشت دیواره صفر و ۹۸ درصد

Fig 10. LVREA profile at different lamp power and wall reflection of zero and 98%

طرفی اثر انعکاس دیواره بر میزان انرژی جذب شده در غلظت‌های بالاتر کاتالیست کاهش می‌یابد.

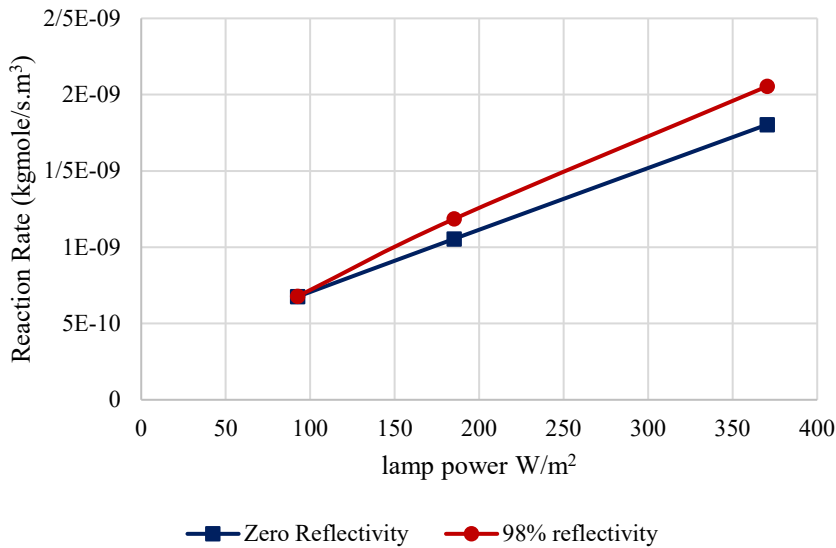
معادله ۹ بیانگر ضخامت اپتیکی^۱ راکتور فتوکاتالیستی است. ضخامت اپتیکی راکتور فتوکاتالیستی تابعی از ضرایب جذب و پراکنش محیط ($\sigma + \kappa$)، ضخامت فضای واکنش $[R(1 - \eta)]$ و غلظت فتوکاتالیست می‌باشد. ضخامت اپتیکی از نظر فیزیکی به

جدول ۴. ضخامت اپتیکی راکتور فتوکاتالیستی در غلظت‌های مختلف کاتالیست

Table 4. Optical thickness of the photoreactor at different catalyst concentrations

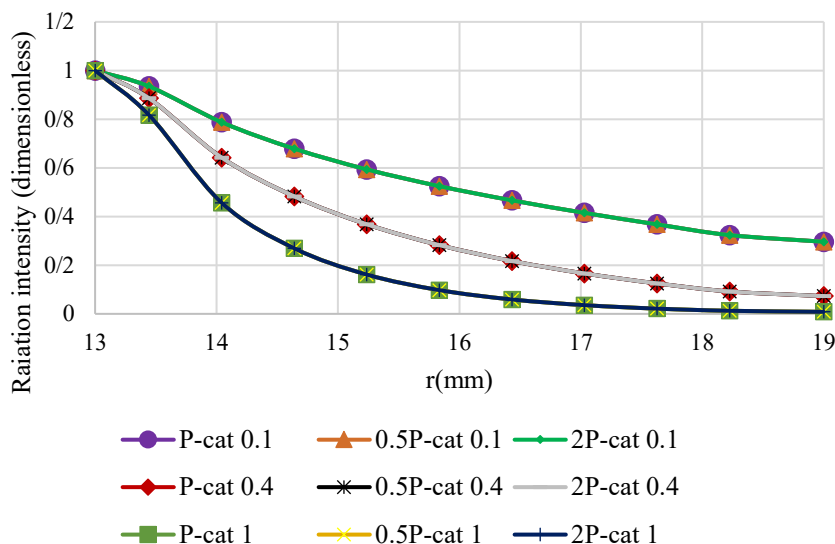
| غلظت کاتالیست (g/l) | ضخامت اپتیکی |
|---------------------|--------------|
| ۰/۱ | ۱/۵۶۲۴ |
| ۰/۴ | ۶/۲۴۹۶ |
| ۰/۶ | ۹/۳۷۴۴ |
| ۰/۹ | ۱۴/۰۶۱۶ |

۱ Optical Thickness



شکل ۱۱. متوسط نرخ واکنش در توان‌های مختلف لامپ در دو حالت ضریب انعکاس پذیری سطح دیواره صفر و ۹۸ درصد

Fig 11. Reaction rate profile at different lamp power and wall reflection of zero and 98%



شکل ۱۲. مقایسه شدت تابش بی بعد به صورت شعاعی در توان‌های مختلف لامپ

Fig 12. Radial profile of dimensionless irradiation intensity at different lamp powers

بهینه برای این راکتور حدود ۶ می‌باشد.

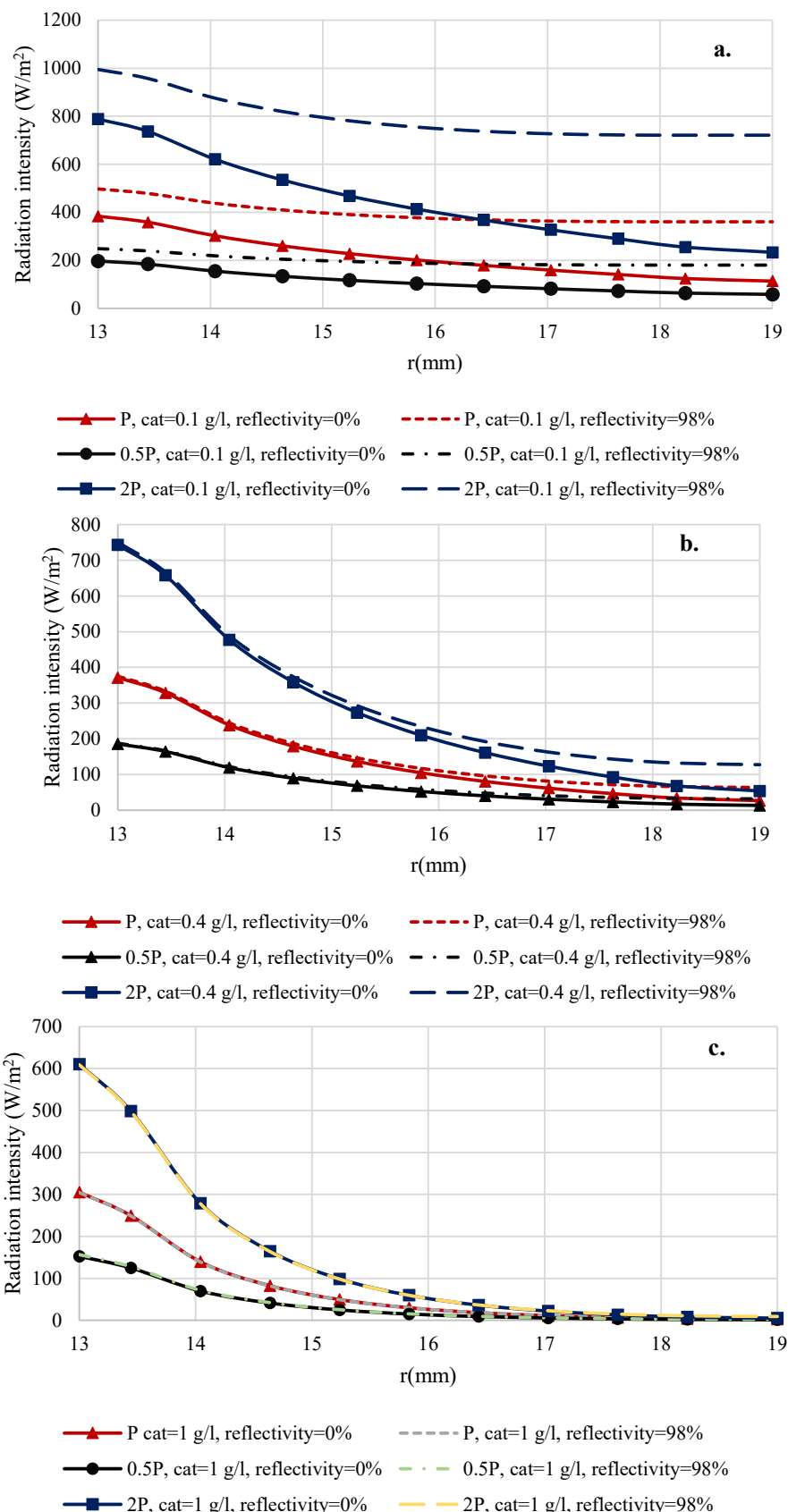
$$\tau = (\sigma + \kappa)R(1 - \eta)C_{cat} \quad (11)$$

مقدار و نحوه کاهش شدت تابش در طراحی قطر داخلی و خارجی

راکتور اهمیت بالایی دارد. برای بررسی اثر محیط بر جگونگی کاهش

معنای نسبت ضخامت فضای واکنش به فاصله پویش آزاد فوتون‌ها در سوبانسیون می‌باشد [۱۱]. جدول ۴ ضخامت اپتیکی راکتور فتوکاتالیستی در غلظت‌های مختلف کاتالیست آورده شده است. با توجه به نتایج بدست آمده در شکل‌های ۷ و ۱۰، ضخامت اپتیکی

1 Photons Mean Free Path



شکل ۱۳. مقایسه شدت تابش بهصورت شعاعی در توان‌های مختلف لامپ و در غلظت کاتالیست برابر با (الف) ۱/۰ گرم بر لیتر (ب) ۰/۴ گرم بر لیتر (ج) ۱ گرم بر لیتر

Fig 13. Radial profile of irradiation at different lamp power and catalyst concentration a. 0.1g/l, b. 0.4g/l and c. 1g/l

نشان می‌دهد اثر ضریب انعکاس پذیری سطح دیواره در توان دو برابری لامپ تنها یک درصد بیشتر از توان اولیه لامپ بوده است.

پروفایل شدت تابش به تابش اولیه (تابش بی بعد) در توان‌های مختلف لامپ، دو برابر و نیم برابر مقدار اولیه ($P=185/2$) در شکل ۱۲ رسم شده است. نتایج نشان می‌دهد، نحوه کاهش شدت تابش بی بعد به صورت شعاعی تابعی از ضریب جذب محیط (که متأثر از غلظت کاتالیست است) است به طوری که در فاصله ۱ میلی‌متری از لامپ ($r=14 \text{ mm}$) در غلظت ۱ گرم بر لیتر، میزان تابش به ۴۷ درصد مقدار اولیه و در غلظت ۰/۱ گرم بر لیتر به ۸۰ درصد مقدار اولیه کاهش می‌یابد. اگرچه استفاده از لامپ با توان بالا اثر مستقیمی بر افزایش نرخ واکنش دارد اما تابش بی بعد، تابعی از ضریب جذب محیط می‌باشد و همواره درصد ثابتی از توان لامپ به دیواره‌های راکتور می‌رسد، به طوری که در غلظت‌های کاتالیست برابر با ۱ و ۰/۴ گرم بر لیتر حدود یک درصد و در غلظت ۰/۱ گرم بر لیتر حدود ۷ درصد میزان تشعشع لامپ به دیواره‌ها می‌رسد. این عدد مستقل از توان لامپ می‌باشد و تنها تابعی از غلظت کاتالیست است.

در شکل ۱۳ نمودار مقایسه‌ای شدت تابش به صورت شعاعی در توان‌های مختلف لامپ و در غلظت کاتالیست برابر با ۰/۱، ۰/۴ و ۱ گرم بر لیتر آورده شده است. همانطور که در توضیح شکل ۱۲ ذکر شد همواره مقدار ثابتی از توان لامپ به دیواره‌های راکتور می‌رسد که تابعی از غلظت کاتالیست می‌باشد. شکل ۱۳ نشان می‌دهد که افزایش توان لامپ باعث افزایش میزان تابش رسیده به دیواره‌ها شده و درنتیجه با افزایش ضریب انعکاس، متوسط تابش درون راکتور افزایش می‌یابد اما در غلظت‌های بالا (۱ گرم بر لیتر) به دلیل ناچیز بودن میزان تابش رسیده به دیواره‌ها افزایش ضریب انعکاس پذیری حتی در توان‌های بالای لامپ، بی‌اثر است. درنتیجه افزایش توان لامپ برای بهره‌بردن از اثر انعکاس پذیری دیواره‌ها، تنها زمانی سودمند خواهد بود که غلظت مناسبی از کاتالیست انتخاب شود.

۴- نتیجه‌گیری

در این پژوهش راکتور دوغابی فنوتاکتالیستی با استفاده از دینامیک سیالات محاسباتی شبیه‌سازی شده است. ابتدا نتایج حاصل از شبیه‌سازی با داده‌های آزمایشگاهی معتبر اعتبارسنجی شده و سپس از مدل اعتبارسنجی شده برای بررسی رفتار سیستم و پیش‌بینی

شدت تابش و میزان جذب انرژی در راکتور، نمودار شدت تابش و انرژی جذب شده به صورت شعاعی در غلظت‌های مختلف کاتالیست ۱ گرم بر لیتر، ۰/۴ گرم بر لیتر و ۰/۱ گرم بر لیتر به ترتیب در شکل‌های ۸ و ۹ رسم شده است. شکل ۸ نشان می‌دهد که در غلظت‌های کاتالیست بالاتر از ۰/۴ گرم بر لیتر، میزان تابش در جهت شعاعی به سرعت افت می‌کند و عمدۀ میزان تابش در نزدیکی لامپ است در نتیجه حجمی از راکتور که مقدار تابش کمتری در مقایسه با غلظت‌های پایین‌تر کاتالیست دریافت می‌کند، بیشتر است. این امر بر اثرگذاری انعکاس دیواره بر شدت تابش درون راکتور نیز تاثیرگذار بوده است. به گونه‌ای که در غلظت کاتالیست برابر با ۰/۱ گرم بر لیتر، افزایش ضریب انعکاس دیواره به ۹۸ درصد متوسط تابش درون راکتور را ۷۵ درصد افزایش داده این در حالیست که در غلظت ۱ گرم بر لیتر افزایش افزایشی در متوسط تابش مشاهده نمی‌شود. در شکل ۹ متوسط انرژی جذب شده به صورت شعاعی رسم شده است. نتایج شکل ۹ نشان می‌دهد که در غلظت‌های بالاتر از ۰/۴ گرم بر لیتر میزان انرژی جذب شده در نقاط دور از لامپ (از میانه راکتور به بعد) به شدت کاهش می‌یابد بنابراین می‌بایست در غلظت‌های بالاتر کاتالیست از راکتور با قطر کوچکتر استفاده کرد. استفاده از دیواره‌هایی با ضریب انعکاس بالاتر نیز تنها در غلظت‌های پایین موثر است.

۳-۳- اثر توان لامپ بر میزان جذب انرژی و نرخ واکنش

برای بررسی اثر توان لامپ بر میزان جذب انرژی در راکتور با انعکاس ۹۸ درصد دیواره، میزان انرژی جذب شده و نرخ واکنش در توان‌های مختلف لامپ با غلظت کاتالیست ۰/۴ گرم بر لیتر به ترتیب در شکل‌های ۱۰ و ۱۱ رسم شده است. نتایج شکل ۱۱ نشان می‌دهد با دو برابر کردن توان اولیه لامپ (۲P)، نرخ واکنش به میزان ۱۰۰ درصد افزایش پیدا می‌کند، همچنین کاهش توان لامپ به نصف مقدار اولیه، نرخ واکنش را ۵۰ درصد کاهش می‌دهد. در ادامه اثر توان لامپ در انعکاس پذیری سطح دیواره ۹۸ درصد بررسی شد. نتایج نشان می‌دهد افزایش انعکاس پذیری دیواره در مقایسه با دیواره بدون انعکاس، نرخ واکنش را ۱۲/۲ درصد افزایش می‌دهد، در حالی که این میزان از افزایش در توان اولیه لامپ به کار رفته در راکتور ۱۱ درصد است. با کاهش توان لامپ به نصف مقدار اولیه، هیچ‌گونه افزایشی در نرخ واکنش با افزایش انعکاس دیواره مشاهده نمی‌شود. این مقایسه

| | | |
|--------------------------------------|-------------|--|
| فاصله (m) | <i>s, z</i> | عملکرد آن در شرایطی متفاوت بهره گرفته شده است. |
| قطر (m) | <i>d</i> | ابتدا اثر غلظت کاتالیست بر میزان جذب انرژی و نرخ واکنش در |
| علامت یونانی | | دو حالت ضریب انعکاس پذیری سطح دیواره برابر با صفر و ۹۸ درصد |
| ضریب جذب تابش محیط (m^{-1}) | κ | بررسی گردید. نتایج نشان می‌دهد اثر انعکاس دیواره در غلظت‌های |
| ضریب پراکنش محیط (m^{-1}) | σ | پایین کاتالیست، به دلیل میزان جذب پایین محیط واکنش، بر نرخ |
| مختصات زاویه‌ای (Radian) | θ | واکنش بیشتر است. افزایش انعکاس دیواره به میزان ۹۸ درصد در |
| زاویه فضایی (Radian) | φ | غلظت‌های $0/4$ و $0/6$ گرم بر لیتر کاتالیست، نرخ واکنش را به ترتیب |
| شعاع المان لامپ در مدل حجمی (m) | η | به میزان ۵۰ درصد و پنج درصد افزایش می‌دهد. در ادامه اثر توان |
| دانسیته (kg/m^3) | ρ | لامپ بر میزان جذب انرژی و نرخ واکنش بررسی شد. اگرچه افزایش |
| فرکانس زاویه‌ای (steradian) | ω | توان لامپ به دو برابر مقدار اولیه، نرخ واکنش را ۱۰۰ درصد افزایش |
| عدد بی بعد قطر ذره | ζ | می‌دهد اما اثر چشمگیری بر میزان تابش رسیده به دیواره‌های راکتور |
| طول موج (Hz) | λ | ندارد. با دو برابر کردن توان لامپ نرخ واکنش در حالت دیواره با |
| نسبت قطر داخلی به قطر خارجی (بی بعد) | η | ضریب انعکاس ۹۸ درصد به میزان $12/2$ درصد افزایش می‌یابد که |
| زیرنویس | | در مقایسه با افزایش ۱۱ درصدی برای شدت اولیه لامپ به معنای |
| فوتون | U | بهبود $1/2$ درصدی است. در انتهای اثر غلظت کاتالیست و توان لامپ |
| جزء | <i>i</i> | بر چگونگی کاهش تشعشع در محیط بررسی شد. نتایج نشان داد |
| کاتالیست | <i>cat</i> | پروفایل شعاعی تابش در راکتور تابع شدیدی از غلظت کاتالیست |

می‌باشد این در شرایطی است که افزایش توان لامپ اثری بر تابش بی بعد نداشته و در هر غلظت از کاتالیست همواره درصد ثابتی از تابش اولیه سطح لامپ به دیواره‌های راکتور می‌رسد.

منابع و مراجع

- P.C. Vandevivere, R. Bianchi, W. Verstraete, Treatment and reuse of wastewater from the textile wet-processing industry: Review of emerging technologies, Journal of Chemical Technology and Biotechnology, 72(4) (1998) 289-302.
- A. Payan, M. Fattahi, B. Roozbehani, Synthesis, characterization and evaluations of TiO₂ nanostructures prepared from different titania precursors for photocatalytic degradation of 4-chlorophenol in aqueous solution, Journal of Environmental Health Science and Engineering, 16(1) (2018) 41-54.
- R. Shahbazi, A. Payan, M. Fattahi, Preparation, evaluations and operating conditions optimization of nano TiO₂ over graphene based materials as the photocatalyst for

فهرست عالم

علامت انگلیسی

| | |
|---|----------|
| مساحت (m^2) | <i>A</i> |
| غلظت (mol/m^3) | <i>C</i> |
| نرخ واکنش (در معادله (3)) (mol/m^3s) | <i>R</i> |
| شعاع خارجی (در معادله (9)) (m) | <i>R</i> |
| دما مطلق (K) | <i>T</i> |
| جرم مولی (g/mol) | <i>M</i> |
| طول راکتور (m) | <i>h</i> |
| غلظت کاتالیست (kg/m^3) | <i>W</i> |
| فاصله شعاعی (m) | <i>r</i> |

- [13] R. Brandi, O. Alfano, A. Cassano, Evaluation of radiation absorption in slurry photocatalytic reactors. 1. Assessment of methods in use and new proposal, *Environmental science & technology*, 34(12) (2000) 2623-2630.
- [14] C. Casado, J. Marugán, R. Timmers, M. Muñoz, R. van Grieken, Comprehensive multiphysics modeling of photocatalytic processes by computational fluid dynamics based on intrinsic kinetic parameters determined in a differential photoreactor, *Chemical Engineering Journal*, 310 (2017) 368-380.
- [15] J. Chen, B. Deng, C.N. Kim, Computational fluid dynamics (CFD) modeling of UV disinfection in a closed-conduit reactor, *Chemical Engineering Science*, 66(21) (2011) 4983-4990.
- [16] A. Fluent, 14.5, theory guide; ansys, Inc., Canonsburg, PA, (2012).
- [17] G. Li Puma, J.N. Khor, A. Brucato, Modeling of an annular photocatalytic reactor for water purification: oxidation of pesticides, *Environmental science & technology*, 38(13) (2004) 3737-3745.
- [18] H.W. Oh, Applied computational fluid dynamics, BoD-Books on Demand, 2012.
- [19] M. Bagheri, M. Mohseni, Computational fluid dynamics (CFD) modeling of VUV/UV photoreactors for water treatment, *Chemical Engineering Journal*, 256 (2014) 51-60.
- [20] R.B. Bird, Transport phenomena, *Applied Mechanics Reviews*, 55(1) (2002) R1-R4.
- [21] J. Delgado, Molecular diffusion coefficients of organic compounds in water at different temperatures, *Journal of phase Equilibria and Diffusion*, 28(5) (2007) 427-432.
- [22] A.E. Cassano, O.M. Alfano, Reaction engineering of suspended solid heterogeneous photocatalytic reactors, *Catalysis today*, 58(2-3) (2000) 167-197.
- [23] H. Photocatalysis, From Fundamentals to Green Applications, in, Springer, Berlin, 2016.
- [24] Y. Boyjoo, M. Ang, V. Pareek, Some aspects of photocatalytic reactor modeling using computational degradation of phenol, *Journal of Photochemistry and Photobiology A: Chemistry*, 364 (2018) 564-576.
- [4] M.N. Chong, B. Jin, C.W. Chow, C. Saint, Recent developments in photocatalytic water treatment technology: a review, *Water research*, 44(10) (2010) 2997-3027.
- [5] S.A. Mirzaee, N. Jaafarzadeh, H.T. Gomes, S. Jorfi, M. Ahmadi, Magnetic titanium/carbon nanotube nanocomposite catalyst for oxidative degradation of Bisphenol A from high saline polycarbonate plant effluent using catalytic wet peroxide oxidation, *Chemical Engineering Journal*, 370 (2019) 372-386.
- [6] S.R. Hirshorn, L.D. Voss, L.K. Bromley, NASA Systems Engineering Handbook, (2017).
- [7] Y. Boyjoo, M. Ang, V. Pareek, CFD simulation of a pilot scale slurry photocatalytic reactor and design of multiple-lamp reactors, *Chemical Engineering Science*, 111 (2014) 266-277.
- [8] M. Martín-Sómer, C. Pablos, R. van Grieken, J. Marugán, Influence of light distribution on the performance of photocatalytic reactors: LED vs mercury lamps, *Applied Catalysis B: Environmental*, 215 (2017) 1-7.
- [9] A. Turolla, D. Santoro, J.R. De Bruyn, F. Crapulli, M. Antonelli, Nanoparticle scattering characterization and mechanistic modelling of UV-TiO₂ photocatalytic reactors using computational fluid dynamics, *Water research*, 88 (2016) 117-126.
- [10] G. Asadollahfardi, M. Noori, M. Asadi, M. Taherioun, The comparison of discrete ordinate and Monte Carlo methods in solving of the radiation transfer equations in a heterogenous reactor, *Journal of Water Supply: Research and Technology—AQUA*, 67(1) (2017) 109-118.
- [11] G.L. Puma, A. Brucato, Dimensionless analysis of slurry photocatalytic reactors using two-flux and six-flux radiation absorption-scattering models, *Catalysis Today*, 122(1-2) (2007) 78-90.
- [12] R.L. Romero, O.M. Alfano, A.E. Cassano, Radiation field in an annular, slurry photocatalytic reactor. 2. Model and experiments, *Industrial & engineering chemistry research*, 42(12) (2003) 2479-2488.

intensity distribution in heterogenous photocatalytic reactors, Asia-Pacific Journal of Chemical Engineering, 3(2) (2008) 171-201.

fluid dynamics, Chemical Engineering Science, 101 (2013) 764-784.

[25] V. Pareek, S. Chong, M. Tadé, A.A. Adesina, Light

چگونه به این مقاله ارجاع دهیم

M. Nourizade, M. Rahmani, A. Javadi, *Simulation of a Photocatalytic Reactor Using Finite Volume and Discrete Ordinate Method: A Parametric Study*, Amirkabir J. Mech Eng., 53(Special Issue 1) (2021) 573-588.

DOI: 10.22060/mej.2019.16699.6425

